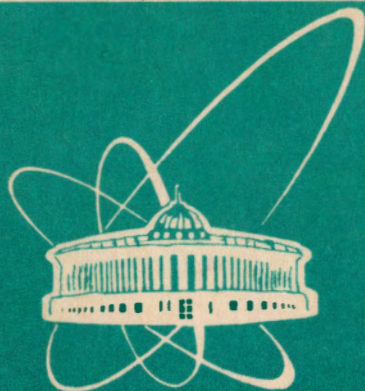


93-214



СООБЩЕНИЯ  
ОБЪЕДИНЕННОГО  
ИНСТИТУТА  
ЯДЕРНЫХ  
ИССЛЕДОВАНИЙ  
ДУБНА

P4-93-214

Е.Б.Бальбуцев, М.А.Листенгартен\*, А.В.Унжакова\*

ИЗОСКАЛЯРНЫЕ ДИПОЛЬНЫЕ ВОЗБУЖДЕНИЯ  
И ТОРОИДНЫЕ МОМЕНТЫ АТОМНЫХ ЯДЕР

---

\*С.-Петербургский государственный университет

1993

# 1 Введение

Предположение о возможном существовании нового вида электромагнитных моментов - тороидных было выдвинуто Я.Б. Зельдовичем [1] и более детально разработано в [2]. Эта идея нашла свое подтверждение в [3], где было обнаружено, что низколежащие одночастичные состояния атомных ядер обладают тороидным моментом.

Исследование коллективных возбуждений тороидного типа было начато в работах [4],[5] в рамках довольно простых моделей (несжимаемое ядро с резким краем) со схематическими взаимодействиями. Близкие результаты получались и в рамках метода моментов функции Вигнера [6] с поверхностным натяжением в качестве остаточного взаимодействия. Упрощенные расчеты [4]-[6] предсказывали тороидное возбуждение в районе гигантского дипольного резонанса (примерно 11 МэВ для  $^{208}\text{Pb}$ ). Естественно, интересно посмотреть, что даст расчет с реалистическим взаимодействием при отказе от условия несжимаемости.

Изучение компрессионных мод актуально в связи с недавними экспериментами голландской группы [7], в которых было установлено существование низколежащих изоскалярных  $1^-$ -возбуждений. Разумеется, большой интерес представляют и высоколежащие изоскалярные дипольные моды, которые экспериментально были обнаружены сравнительно недавно и поэтому в данных о них еще имеется некоторый разброс [8]-[10].

В данной работе метод моментов применяется для расчета изоскалярных и изовекторных коллективных дипольных возбуждений отрицательной четности с силами Скирма (вариант  $SKM^*$ ). Система динамических уравнений для декартовых тензоров 3-го ранга (играющих роль коллективных переменных) была написана в [11]. После очевидных перекомбинирований эта система разбивается на подсистемы для неприводимых тензоров мультипольности 3, 2 и 1. Последняя подсистема является наиболее сложной. Она позволяет изучать коллективные  $1^-$ -возбуждения вихревого и компрессионного типа.

## 2 Движение центра масс

Всевозможные определения, а также вывод динамических уравнений для декартовых тензоров 1-го и 3-го рангов достаточно подробно представлены в работах [11] и [12], поэтому здесь мы остановимся только на проблеме движения центра масс, которое должна корректно учитывать любая теория, претендующая на правильное описание 1<sup>-</sup>возбуждений. В методе моментов координаты центра масс являются коллективными переменными, и для них имеются уравнения движения. Приведем здесь их вывод.

Вириальные уравнения 1-го ранга получают интегрированием уравнения непрерывности

$$\frac{\partial n_q}{\partial t} + \text{div}(n_q \vec{u}_q) = 0 \quad (1)$$

и уравнения Эйлера

$$\begin{aligned} \frac{\partial}{\partial t}(n_q u_{qi}) + \frac{n_q}{m} \frac{\partial W_q}{\partial x_i} + \\ + \sum_s \frac{\partial}{\partial x_s} \left( \frac{1}{m} P_{qis} + n_q u_{qi} u_{qs} \right) = 0 \end{aligned} \quad (2)$$

по объему ядра с весами  $x_i$  и 1 соответственно. Здесь  $n_q(\vec{r})$  - плотность нуклонов,  $u_q(\vec{r})$  - их средняя скорость,  $q$  - индекс, отличающий протоны и нейтроны,  $P_{qis}$  - тензор давлений,  $W_q(\vec{r})$  - среднее поле, в котором находится нуклон;  $m$  - масса нуклона;  $i, s$  - индексы декартовой системы координат, принимающие значения 1, 2, 3. Интегрируя последние члены обоих уравнений по частям, получаем:

$$\frac{d}{dt} \mathcal{J}_{qi} - \mathcal{P}_{qi} = 0, \quad (3)$$

$$\frac{d}{dt} \mathcal{P}_{qi} + \frac{1}{m} \int n_q \frac{\partial W_q}{\partial x_i} d\vec{r} = 0, \quad (4)$$

где  $\mathcal{J}_{qi} = \int x_i n_q d\vec{r}$  - координата центра масс протонов или нейтронов,  $\mathcal{P}_{qi} = \int n_q u_{qi} d\vec{r}$  - соответствующий импульс. Интеграл от последнего члена в (2) равен нулю в силу граничного условия. Уравнение (4) описывает динамику импульса нуклонов. Сумма уравнений

(4) для нейтронов и протонов в отсутствие внешних полей представляет собой закон сохранения импульса ядра  $\mathcal{P}_i = \mathcal{P}_{ni} + \mathcal{P}_{pi}$ . В этом случае интеграл  $\int (n_p \frac{\partial W_p}{\partial x_i} + n_n \frac{\partial W_n}{\partial x_i}) d\vec{r}$  есть не что иное, как сумма всех внутренних сил, действующих в ядре, и должен быть равен нулю. Заметим, однако, что равенство выполняется только для самосогласованного среднего поля  $W_q(\vec{r})$ .

Чтобы рассчитать вероятности возбуждения ядра, мы пользуемся теорией линейного отклика в форме, представленной Лейном [13]. Для этого ядро помещается во внешнее поле

$$W_q(\vec{r}, t) = Q_q(r)e^{-i\omega t} + Q_q^\dagger(r)e^{i\omega t},$$

где  $Q_q(\vec{r})$  - оператор, матричные элементы которого и требуется вычислить. Чтобы не нарушался закон сохранения импульса,  $W_q$  должно удовлетворять равенству

$$\int (n_p \frac{\partial W_p}{\partial x_i} + n_n \frac{\partial W_n}{\partial x_i}) d\vec{r} = 0. \quad (5)$$

Оно позволяет фиксировать эффективные заряды и прочие параметры внешнего поля. Так, для дипольного оператора  $Q_{q1\mu} = e_q r Y_{1\mu}$ , возбуждающего гигантский дипольный резонанс ГДР, имеем:

$$\begin{aligned} \sum_q e_q \int n_q \frac{\partial}{\partial x_i} (r Y_{1\mu}) d\vec{r} &\simeq \\ \sum_q e_q \frac{Z_q}{A} \int n \frac{\partial}{\partial x_i} (r Y_{1\mu}) d\vec{r} &= 0. \end{aligned} \quad (6)$$

Здесь мы воспользовались общепринятым приближением  $n_q = \frac{Z_q}{A} n$ , где  $n = n_p + n_n$ . Интеграл в (6), очевидно, отличен от нуля, следовательно:

$$\sum_q e_q \cdot Z_q = e_p \cdot Z + e_n \cdot N = 0. \quad (7)$$

Легко видеть, что это условие удовлетворяется известным выбором эффективных зарядов:  $e_p = \frac{N}{A} \cdot e$ ,  $e_n = -\frac{Z}{A} \cdot e$ . В случае электромагнитных (кулоновских) возбуждений, когда  $e_p = e$  и  $e_n = 0$ , либо изоскалярных возбуждений, когда  $e_p = e_n$ , каждый член суммы в

(5) должен быть равен нулю, что можно обеспечить только специальным выбором оператора. Обычно берется  $Q_{q1\mu} = e_q(r^3 + \alpha r)$ . Из (5) для него получается (после интегрирования по углам):

$$\sum_q e_q \cdot \frac{Z_q}{A} \int \frac{\partial n}{\partial r} (r^3 + \alpha r) r^2 dr = 0. \quad (8)$$

Отсюда, приравняв интеграл нулю, получаем известную [14] формулу для константы  $\alpha$ :

$$\alpha = -\frac{5}{3} \int n r^4 dr / \int n r^2 dr = -\frac{5}{3} \langle r^2 \rangle. \quad (9)$$

Торондный оператор [2]

$$\hat{O}_t = \vec{r}(\vec{r} \cdot \vec{p}) - 2r^2 \vec{p} \quad (10)$$

возбуждает вихревые движения и не приводит к перераспределению вещества в ядре, не влияя тем самым на центр масс. Его воздействие на нуклоны осуществляется через тензор давлений [6].

При расчетах более удобно иметь дело не с двумя уравнениями (3) и (4), а с одним, которое получается подстановкой (3) в (4):

$$\frac{d^2 J_{qi}}{dt^2} + \frac{1}{m} \int n_q \frac{\partial W_q}{\partial x_i} d\vec{r} = 0. \quad (11)$$

Это уравнение описывает, очевидно, движение центров масс протонов и нейтронов. Однако через среднее поле  $W_q$  оно связано с тензорами более высокого ранга, которые позволяют к простейшему движению нуклонов (центры масс) добавить более сложные движения компрессионного и вихревого типа.

### 3 Результаты расчетов

В этой работе мы ограничились вычислениями только для тяжелого ядра  $^{208}\text{Pb}$ . Дело в том, что в наших расчетах нет самосогласования. Плотность аппроксимируется функцией Ферми, параметры которой подобраны так [15], чтобы в общем и целом она годилась для всей таблицы Менделеева. Для кинетической энергии используется

приближение Томаса-Ферми. При описании достаточно грубых характеристик (например, гигантских резонансов), особенно в тяжелых ядрах, оба эти приближения приемлемы. Однако в легких ядрах они могут приводить к заметным ошибкам. Причем роль самосогласования особенно велика при описании дипольных возбуждений, т.к. движение центра масс отделяется от них точно только в случае самосогласованного среднего поля.

Энергии дипольных возбуждений  $E_i$  находятся решением характеристического уравнения системы динамических уравнений для различных тензоров мультипольности  $\lambda = 1$ , написанной в [11]. Это уравнение является полиномом 7-го порядка относительно  $E^2$ , следовательно, можно ожидать до семи корней. Результаты расчета приведены в таблице 1. Характеристическое уравнение действительно имеет семь решений для  $^{208}\text{Pb}$ , т.е. предсказываются семь  $1^-$ -резонансов. О природе каждого из них можно судить, рассчитав вероятности их возбуждения различными операторами. Начнем с оператора, позволяющего анализировать компрессионные моды [14]:

$$\hat{O}_3 = e(r^3 + \alpha r)Y_{1\mu}. \quad (12)$$

Результаты расчета с ним приведены в 2,3 и 4 колонках таблицы 1. Во второй колонке показан вклад каждого уровня в электромагнитное энергетически взвешенное правило сумм (EWSR):

$$S(E1) = \frac{3}{4\pi} \frac{\hbar^2}{2m} e^2 Z \left[ G_1 + \frac{m}{2\hbar^2} \left( t_+ - \frac{t_- Z}{2A} \right) \cdot G_2 \right]. \quad (13)$$

Здесь введены обозначения:

$$G_1 = 11\langle r^4 \rangle - \frac{25}{3}\langle r^2 \rangle^2,$$

$$G_2 = 11\langle nr^4 \rangle + 10\alpha\langle nr^2 \rangle + 3\alpha^2\langle n \rangle.$$

В третьей и четвертой колонках показаны вклады каждого уровня в изовекторное и изоскалярное правила сумм соответственно:

$$S(\tau = 1, \lambda = 1) = S(\tau = 0, \lambda = 1) = \frac{3}{4\pi} \frac{\hbar^2}{2m} e^2 A \cdot \left[ G_1 + \frac{m}{2\hbar^2} \left( t_+ - \frac{t_- Z^2 + N^2}{A^2} \right) \cdot G_2 \right]. \quad (14)$$

Таблица

Энергии и вероятности возбуждения  $1^-$ -резонансов изоскалярным дипольным  $\hat{O}_3$  и тороидным  $\hat{O}_t$  операторами. Для оператора  $\hat{O}_3$  приведены вклады в правило сумм.  $\hat{O}_3 = e(r^3 + \alpha r)Y_{1\mu}$  и  $\hat{O}_t = \vec{r}(\vec{r} \cdot \vec{p}) - 2r^2\vec{p}$

| $E_x$ | $\hat{O}_3$     |                  |               | $\hat{O}_t$    |                |                |
|-------|-----------------|------------------|---------------|----------------|----------------|----------------|
|       | em (%)          | iv (%)           | is (%)        | em ( $\mu_N$ ) | iv ( $\mu_N$ ) | is ( $\mu_N$ ) |
| 8.1   | 5.4             | 0.1              | 10.0          | ~ 0            | ~ 0            | ~ 0            |
| 8.6   | 3.1             | 0                | 4.2           | 2.1            | 52.5           | 30.9           |
|       | (9.8 exp)       |                  | (14.7 exp)    |                |                |                |
| 10.0  | 0.1             | 0.7              | ~ 0           | 233.6          | 40.7           | 31.4           |
| 11.3  | 1.6             | 1.9              | 0.1           | -              | -              | -              |
| 17.3  | 0               | ~ 0              | 0.3           | -              | -              | -              |
| 24.8  | 26.1            | 7.1              | 74.2          | ~ 0            | ~ 0            | ~ 0            |
| 37.4  | 63.6            | 102.6            | 0.2           | ~ 0            | ~ 0            | ~ 0            |
|       | $\Sigma = 99.9$ | $\Sigma = 111.2$ | $\Sigma = 89$ |                |                |                |

Наибольший вклад в изовекторное EWSR дает седьмой уровень с энергией  $E_7 = 37.4$  МэВ, который является, следовательно, компрессионным изовекторным дипольным резонансом. Какая-либо экспериментальная информация о нем нам не известна. Вклад остальных уровней в правило сумм, как видно по таблице, незначителен. Изоскалярное EWSR исчерпывается в основном тремя уровнями (1-м, 2-м и 6-м), причем самый большой вклад дает шестой уровень с  $E_6 = 24.8$  МэВ, который можно назвать компрессионным изоскалярным дипольным резонансом.

Очень близкие результаты ( $E = 25.9$  МэВ, вклад = 58% ) получаются в RPA-расчетах с взаимодействием SGII [14]. Экспериментально этот резонанс наблюдается при 21.3 - 22.6 МэВ с вкладом в

EWSR от 44 до 90% [8],[9],[10], что перекрывается с нашим числом 74.2%.

Вклад в EWSR двух нижних уровней значительно меньше. Тем не менее именно они представляют сейчас наибольший интерес в связи с недавними экспериментами, проведенными голландской группой [7]. В этой работе изучалась реакция  $(\alpha, \alpha' \gamma_0)$  при нулевых углах в  $^{208}\text{Pb}$ ,  $^{90}\text{Zr}$ ,  $^{58}\text{Ni}$  и  $^{40}\text{Ca}$ . В  $^{208}\text{Pb}$  обнаружено семь  $1^-$ -уровней в интервале энергий от 5.3 до 7.28 МэВ с суммарным вкладом в изоскалярное EWSR  $14.7 \pm 0.3\%$  и в электромагнитное -  $9.82 \pm 0.14\%$ . Эти цифры весьма близки к суммарному вкладу двух наших самых низких  $1^-$ -уровней в соответствующие правила сумм. По энергиям, правда, согласие заметно хуже: центроид рассчитанных уровней (8.23 МэВ) на 2.3 МэВ превышает центроид экспериментальных уровней (5.94 МэВ). В связи с этим, однако, надо отметить большую чувствительность нижних уровней решительно ко всем деталям расчета. Например, достаточно пренебречь квантовой поправкой к уравнению Власова, чтобы этот центроид опустился на 2 МэВ, тогда как остальные уровни сдвигаются незначительно. Поэтому можно надеяться, что самосогласованный расчет с каким-нибудь более современным взаимодействием существенно улучшит согласие с экспериментом.

Рассмотрим колебания тороидного момента ядра [16]

$$\vec{T}_q = \frac{e}{10c} \int n_q(r) [\vec{r}(\vec{r} \cdot \vec{v}_q) - 2r^2 \vec{u}_q] d\vec{r},$$

которые возбуждаются оператором  $\hat{O}_l$  (10). Результаты расчета с этим оператором демонстрируются в 5,6 и 7-й колонках таблицы. В пятой колонке приведены числа, соответствующие электромагнитному возбуждению, когда внешнее поле воздействует только на протоны. С наибольшей вероятностью, как видно, возбуждается третий уровень с энергией  $E_3 = 10$  МэВ. На два порядка меньше вероятность возбудить второй уровень с энергией  $E_2 = 8.6$  МэВ.

Остальные уровни этим оператором не возбуждаются. Для большинства из них функция [6]

$$\mathcal{F}_l(E) = (E - E_\nu) \int [\vec{r}(\vec{r} \cdot \delta \vec{u}) - 2r^2 \delta \vec{u}] d\vec{r},$$

которая согласно теории линейного отклика [13] в предель  $E \rightarrow E_\nu$  должна давать квадрат модуля соответствующего матричного элемента, очень мала. Но для двух уровней (прочерки в таблице) она

отрицательна, что связано с несамосогласованностью расчета и, следовательно, примесью духового состояния.  $\delta\bar{v}$  - вариация средней скорости нуклонов.

В шестой и седьмой колонках показаны числа, соответствующие изовекторному и изоскалярному возбуждениям. Как видно, резонансы  $E_2$  и  $E_3$  совершенно не разделены по изоспину, ибо с одинаковой вероятностью возбуждаются как изовекторным, так и изоскалярным операторами. По энергии резонансы  $E_2$  и  $E_3$  расположены на хвосте ГДР, где экспериментально наблюдается несколько небольших пиков [17]. Любопытно, что один из них находится почти при 10 МэВ. Однако вряд ли стоит торопиться отождествлять его с тороидной модой до проведения расчетов с хартри-фоковскими плотностью и тензором давлений, потому что, как любая токовая мода, тороидная мода чрезвычайно чувствительна к любым тонкостям вычислений.

Не затронутые операторами  $\hat{O}_3$  и  $\hat{O}_1$  два уровня  $E_4$  и  $E_5$  представляют собой расщепленный гигантский дипольный резонанс [18].

## 4 Заключение

Проделаны расчеты с силами Скинра для ядра  $^{208}\text{Pb}$ . Теория дает семь  $1^-$ -резонансов в интервале энергий от 8 до 40 МэВ. Анализ вероятностей их возбуждения позволил показать, что:

1. Два наиболее высоколежащих резонанса являются изоскалярной и изовекторной компрессионными модами. Энергия и вклад в правило сумм изоскалярного возбуждения довольно близки к экспериментальным значениям, хотя для полного согласия нужно, по видимому, подобрать более современное взаимодействие. Экспериментальных данных по изовекторному резонансу пока нет.

2. Два самых низколежащих резонанса могут быть интерпретированы как компрессионные изоскалярные возбуждения. Их суммарный вклад в электромагнитное (кулоновское) и изоскалярное правила сумм очень хорошо согласуется с результатами недавних экспериментов [7].

3. Наконец, один резонанс, лежащий ниже ГДР, может быть истолкован как тороидная токовая мода, поскольку он возбуждается соответствующим тороидным оператором и не возбуждается обычными дипольными операторами (ни изовекторным, ни изоскалярным).

Проведенный анализ показал большую чувствительность дипольных возбуждений (особенно низколежащих) ко всем деталям расчета, поэтому имеет смысл повторить его с самосогласованными плотностями и тензором давлений.

### Литература:

- [1] Зельдович Я.Б. // ЖЭТФ, 1957, т.33, с.1531.
- [2] Дубовик В.М., Чешков А.А. // ЭЧАЯ. 1974. т.5, с.791.
- [3] Листенгартен М.А., Григорьев В.Н., Фересин А.П. // Изв. АН СССР, сер. физ., 1981, т.45, с.2038.
- [4] Семенко С.Ф. // ЯФ, 1981, т.34, с.639.
- [5] Koch H. et al. // Nucl. Phys., 1982, v.A373, p.173.
- [6] Бальбуцев Е.Б. // ЭЧАЯ, 1991, т.22, вып.2, с.333.
- [7] Poelheken T.D. et al. // Phys. Lett., 1992, v.B278, p.423.
- [8] Djalali C. et al. // Nucl. Phys., 1982, v.A380, p.42.
- [9] Morsch H.P. et al. // Phys. Rev., 1983, v.C28, p.1947.
- [10] Adams G.S. et al. // Phys. Rev., 1986, v.C33, p.2054.
- [11] Бальбуцев Е.Б., Молодцова И.В., Пиперова Й. // ЯФ, 1991, т.53, с.670.
- [12] Бальбуцев Е.Б., Пиперова Й. // ЯФ, 1989. т.50, с.961.
- [13] Lane A.M. // Nuclear Theory. Ed. Benjamin. New York, 1964.
- [14] Nguen van Giai // "Nuclear Collective Dynamics" Proceedings of the International School of Nuclear Physics, Poiana Brasov, Romania, 1982 / ed. D.Bucurescu et al. World Scientific, 1983, p.356.
- [15] Bernstein A.M. // Adv. Nucl. Phys., 1969, v.3, p.325.
- [16] Дубовик В.М., Тосунян Л.А. // ЭЧАЯ, 1983, т.14, вып.5, с.1193.
- [17] Беляев С.Н. и др. // ЯФ, 1985, т.42, с.1050.
- [18] Balbutsev E.B., Durand M., Molodtsova I.V., Piperova J., Unzhakova A.V. // Preprint JINR E4-93-202, 1993, Dubna.

Рукопись поступила в издательский отдел  
11 июня 1993 года.